__ СТРУКТУРА, ФАЗОВЫЕ ПРЕВРАЩЕНИЯ ____ И ЛИФФУЗИЯ

УДК 669.3'71'24:551.345:539.3

ВЛИЯНИЕ ДОБАВКИ БОРА В СПЛАВАХ Cu—Al—Ni—В С ТЕРМОУПРУГИМ МАРТЕНСИТНЫМ ПРЕВРАЩЕНИЕМ НА СТРУКТУРУ И МЕХАНИЧЕСКИЕ СВОЙСТВА

© 2023 г. А. Э. Свирид^{а, *}, Н. Н. Куранова^а, В. В. Макаров^а, В. Г. Пушин^а

^аИнститут физики металлов УрО РАН, ул. С. Ковалевской, 18, Екатеринбург, 620077 Россия *e-mail: svirid2491@rambler.ru

Поступила в редакцию 20.03.2023 г. После доработки 03.04.2023 г. Принята к публикации 07.04.2023 г.

Впервые, используя оптическую, растровую и просвечивающую электронную микроскопию и рентгенофазовый анализ в комплексе с измерениями механических свойств на растяжение, получены данные об особенностях структуры сплавов Cu-Al-Ni-(B) с разным содержанием легирующих элементов: алюминий в пределах (10-14 мас. %), никель (3,4,4.5 мас. %) и бор (0.02-0.3 мас. %). Изучено влияние бора на размеры зерен, структуру, фазовый состав, механические свойства сплавов с эффектом памяти формы. Исследована локализация боридов алюминия в структуре и установлен эффект торможения роста зерен в ($\alpha+\beta$)- и β -сплавах Cu-Al-Ni-B как в литом состоянии, так и после термической обработки.

Ключевые слова: медные сплавы, легирование бором, микроструктура, закалка, термоупругое мартенситное превращение, механические свойства

DOI: 10.31857/S0015323023600430, EDN: OLSSUH

ВВЕДЕНИЕ

Развитие современной техники требует создания новых смарт-сплавов, которые могут быть использованы в изделиях, устройствах и механизмах в широком спектре соответствующих термосиловых и иных условий эксплуатации. Однако критическим недостатком большинства поликристаллических смарт-материалов (за исключением бинарных сплавов никелида титана) являются их низкая пластичность и хрупкость [1]. Это не позволяет реализовать присущие им уникальные эффекты как при циклическом многократном, так и при однократном применении. Все более важными становятся задачи разработки методов получения, оптимального легирования и термомеханической обработки таких поликристаллических материалов с целью их упрочнения и одновременно пластификации для последующего разнообразного индустриального применения. Класс экономически выгодных смарт-материалов составляют медные $(\alpha + \beta)$ - и β -низкомодульные сплавы с термоупругими мартенситными превращениями (ТМП) и эффектами памяти формы (ЭПФ) системы Cu-Al-Ni [2-4]. Их отличает невысокая стоимость при производстве, благоприятные теплои электропроводность и технологичность при обработке. В монокристаллическом состоянии они обладают превосходными характеристиками ЭПФ.

Вместе с тем в обычном крупнозернистом состоянии данные поликристаллические сплавы отличают низкие пластичность, трещиностойкость, усталостная долговечность. Интеркристаллитная хрупкость является одной из ключевых причин, препятствующих практическому использованию медных сплавов с ЭПФ [5, 6]. В эвтектоидных медных сплавах обычно снижение пластичности обусловлено химической ликвацией и гетерогенным, особенно зернограничным, распадом, прежде всего при температурах ниже границы эвтектоидного распада (T_{an}), близкой 840 К [6]. Кроме того, данное явление усугубляет свойственная медным сплавам крупнозернистость (размер зерен достигает нескольких миллиметров) [1]. Наконец, важной специфической причиной интеркристаллитного разрушения является высокая анизотропия упругих модулей $A = C_{44}/C'$ (12—13 единиц) медных сплавов, метастабильных по отношению к ТМП [6, 7], которая для упругоизотропных низкомодульных и пластичных сплавов никелида титана составляет 1-2 [8]. Большая упругая анизотропия при ТМП приводит к значительным упругим напряжениям на стыках мартенситных пакетов и особенно на границах зерен, а уровень напряжений и их локализация на границах тем больше, чем крупнее зерна сплавов. Когда такие сплавы на медной основе после выплавки, горячей деформации и термообработки приобретают мелкозернистую структуру (до 60 мкм), их механические свойства улучшаются, а именно, удлинение до разрушения увеличивается на 40–50%, напряжение — почти на 30%, а сопротивление усталостному разрушению увеличивается в 10—100 раз [1].

В настоящее время известны различные методы измельчения зеренной структуры сплавов с ЭПФ [9–15]. С целью подавления роста зерна и увеличения скорости зародышеобразования при кристаллизации применяют такие способы как комплексное микролегирование [1, 16], порошковая металлургия [17], быстрая закалка из расплава [18, 19].

При реализации современного метода целевого микролегирования для получения мелкозернистой структуры в объемных сплавах необходимо учитывать, что вводимые по отдельности или комплексно добавки имеют небольшую растворимость в легируемых сплавах Cu-Al-Ni. Кроме того, некоторые из легирующих элементов образуют соединения с основными химическими элементами в виде дисперсных частиц, которые, в свою очередь сдерживают рост зерен, но могут приводить к охрупчиванию сплавов [1, 4]. Известны попытки измельчения зерен в сплавах Cu—Al—Ni путем легирования Ti, V, Mn [1, 16, 17]. Так, добавка Ті и V в литых сплавах при кристаллизации вызывает подавление процессов образования и роста столбчатых кристаллитов-зерен и развития разнозернистости и, напротив, способствует формированию мелких равноосных зерен, предотвращая зарождение и рост трещин при кристаллизации и последующей прокатке. Дополнительный эффект от легирования Ті и/или V при нагреве сплавов после деформационной обработки проявляется в сдерживании роста зерен и огрубления микроструктуры. Мелкозернистые сплавы, микролегированные Ті и/или V, при испытаниях на сжатие деформируются на 20% при T > 573 K, а при испытаниях на растяжение при 923 К демонстрируют эффект сверхпластичности с удлинением до 300%. Отмечается, что с введением титана или ванадия сплав при холодной прокатке или волочении достигает степени деформации около 10%, что невозможно реализовать в тройном сплаве Cu-Al-Ni. Обратимая деформация при ТМП в мелкозернистых сплавах, изготовленных таким способом, равна 5%, тогда как псевдоупругая деформация -5.5%, что на 1-1.5%выше, чем в крупнозернистых тройных сплавах. К числу эффективных, но малоизученных микродобавок относят бор [1].

Настоящая работа посвящена исследованию влияния микролегирования бором в $\alpha + \beta$ - и β - сплавах системы Cu-Al-Ni на структурно-фазовые превращения и механические свойства спла-

вов в литом состоянии, а также после термомеханической обработки.

МАТЕРИАЛ И МЕТОДЫ ИССЛЕДОВАНИЯ

Сплавы Cu-Al-Ni-В были выплавлены из высокочистых компонентов (чистотой 99.99%). взятых в различном соотношении: Cu (основа), Al (10, 14 мас. %), Ni (3, 4, 4.5 мас. %) и порошок В (0.02-0.3 мас. %) в отделе прецизионных сплавов ЦКП ИФМ УрО РАН. Литые слитки сплавов были подвергнуты гомогенизирующему отжигу при температуре 1173 К, 8 ч, ковке при 1223-1023 К и охлаждению на воздухе. Также была проведена дополнительная термическая обработка (ТО) кованых сплавов, которая включала нагрев при температуре 1223 К, 10 мин и закалку в воде. Структуру, фазовый и химический состав сплавов изучали методами рентгеновской дифрактометрии, оптической микроскопии (ОМ), просвечивающей и растровой электронной микроскопии (ПЭМ и РЭМ, включая режим регистрации изображения в обратнорассеянных электронах (ОРЭ) и энергодисперсионный спектральный микроанализ (ЭДС)). Рентгеновские исследования проводили в монохроматизированном излучении Си Ка на дифрактометре ДРОН-3М. ОМ выполняли с помощью микроскопа Альтами МЕТ 2С. Использовали также оборудование ЦКП ИФМ УрО РАН: ПЭМ Теспаі G² 30 (ускоряющее напряжение 300 кВ), РЭМ Quanta 200, оснащенный системой Pegasus и приставкой для ЭДС (ускоряющее напряжение 30 кВ), РЭМ Tescan Mira, оснащенный приставкой ЭДС Ultim Max 100 (ускоряющее напряжение 30 кВ). Финишное утонение фольг диаметром 3 мм для ПЭМ выполняли на установке GATAN PIPS II. Испытания на растяжение и определение механических свойств цилиндрических ($\emptyset = 3$ мм) стандартных образцов проводили на универсальной испытательной машине Instron 5982.

РЕЗУЛЬТАТЫ ИССЛЕДОВАНИЙ

Известно, что в сплавах системы Cu–Al–Ni при температуре 838 К (T_{3p}) и ниже в равновесных условиях происходит эвтектоидный распад $\beta \to \alpha + \gamma_2$. Период кристаллической решетки α -фазы a_{α} равен 0.361 нм (с ГЦК-решеткой типа A1) и γ_2 -фазы (на основе интерметаллида Cu_9Al_4 с кубической решеткой $D8_3$) $a_{\gamma 2}$ равен 0.870 нм, а также образуются выделения при температурах ниже T_{3p} β_2' -фазы с ОЦК-решеткой типа B2' на основе NiAl ($a_{B2'}$ равен 0.289 нм) [1, 15, 20]. В проведенных ранее исследованиях было установлено, что закалка сплавов системы Cu–Al–Ni из однофазной β -области предотвращает эвтектоидный распад [9—14]. Добавки 3—4.5 мас. % Ni

снижают диффузионную подвижность атомов меди и алюминия, тем самым сдерживая эвтектоидный распад высокотемпературной β-фазы при закалке, тогда как повышение концентрации алюминия приводит к снижению критических температур $M_{\rm s}, M_{\rm f}, A_{\rm s}, A_{\rm f}$ [15]. При этом важно, что в процессе охлаждения или термической обработки при температурах выше $M_{\rm s}$, наряду с распадом, происходит атомное упорядочение $A2(\beta) \rightarrow B2(\beta_2) \rightarrow D0_3(\beta_1)$. Дальний атомный порядок аустенитной атомноупорядоченной β₁-фазы наследуется мартенситом, что обеспечивает его термоупругость [1, 7]. Поскольку охлаждение на воздухе сплавов Си-Al-Ni после ковки не позволило предотвратить их эвтектоидный распад, нами была выполнена процедура закалки в воде от 1223 К, с предварительной выдержкой 10 мин. По данным рентгенографических исследований установлено, что в кованых закаленных сплавах с концентрацией алюминия 10 и 14 мас. % за счет ТМП образуются двойникованные мартенситные фазы по схемам

 $\beta_1(D0_3) \rightarrow \beta_1'(18R)$ (с параметрами длиннопериодной моноклинной решетки $18R \ a = 0.4450 \ \mathrm{hm}, \ b = 0.5227 \ \mathrm{hm}, \ c = 3.8050 \ \mathrm{hm}, \ \beta = 91.0^\circ)$ и $\beta_1(D0_3) \rightarrow \gamma_1'(2H)$ (с параметрами орторомбической решетки $2H \ a = 0.4390 \ \mathrm{hm}, \ b = 0.5190 \ \mathrm{hm}, \ c = 0.4330 \ \mathrm{hm}$) (рис. 1a).

В сплаве Cu-10Al-4.5Ni образующийся при резком охлаждении мартенсит характеризовался грубой зигзагообразной и пластинчатой пакетной морфологией чередующихся попарно-двойникованных кристаллов (рис. 2a, 2б). Размеры зерен бывшей аустенитной фазы, предшествовавшей ТМП, достигали 0.5—1 мм (рис. 2a).

На ПЭМ-изображениях отчетливо наблюдались тонкие вторичные нанодвойники (рис. 2в) и антифазные границы (АФГ) в пластинах мартенсита (рис. 2г). Наследуемые от β_1 -аустенита АФГ являются следствием многозародышевого механизма атомного упорядочения $\beta(A2)$ в B2- и $D0_3$ -сверхструктуру.

Для микроструктуры горячекованного закаленного сплава Cu-14Al-3Ni характерно наличие крупных полиэдрических зерен размером от 0.5 до 1.5 мм. Очевидно вследствие химической ликвации еще в процессе кристаллизации, различные по контрасту области, наблюдаемые на OM- и P9M- изображениях (рис. 3а, 3б), отличались по элементному составу: имели либо повышенное содержание Cu, либо были обогащены Al и Ni. По данным структурных $\Pi 9M$ -исследований сплав при охлаждении до комнатной температуры испытывал $TM\Pi$ с образованием двух мартенситных фаз β_1' и γ_1' (рис. 3в).

Для уменьшения размеров зерен в сплавах системы Cu—Al—Ni было проведено легирование разным количеством бора.

Охлаждение литых сплавов Cu-10Al-(3, 4.5)Ni-(0.02-0.3)B, как и Cu-14Al-(3, 4)Ni-(0.02-0.3)B, на воздухе сопровождалось одновременно эвтектоидным распадом по реакции $\beta \rightarrow \alpha + \beta_2 + \gamma_2$ и образованием мартенсита β_1' . На рис. 4 представлен пример PЭM-изображения микроструктуры литого сплава Cu-10Al-3Ni-0.3B и картирования выделенной области по химическим элементам в их характеристическом излучении. В частности, анализ изображений показал, что в сплаве присутствуют частицы типа Ni-Al, Al-B, Al-Ni-B.

При этом наблюдалось формирование микрокристаллической структуры сплавов с размерами зерен 300-450 мкм (рис. 5). Отчетливо различаются по контрасту частицы бора, размеры которых составляют 150-400 нм, локализованные как на границах, так и в объеме зерен (см. рис. 5г). Дисперсные выделения β'2-фазы на основе Ni-Al имели размеры, не превышающие 1 мкм (см. рис. 4). Частицы β'2-фазы ранее были обнаружены нами при прямом разрешении методом ПЭМ в сплаве Cu-14Al-4Ni после равноосного сжатия при 1223 К. Установлено, что данная фаза выделяется при температурах ниже $T_{\rm эp}$ преимущественно гетерогенно по границам, а при продолжительном охлаждении сплава на воздухе и в объеме α-зерен [12].

Отметим, что при охлаждении, одновременно с распадом происходило ТМП с образованием мартенсита пакетно-игольчатой морфологии (рис. 4—6). Известно, что сплавы Cu-Al-Ni с концентрацией Al 10 мас. % испытывают ТМП при высоких температурах M_s и M_f (850 и 870 K соответственно). Критические температуры прямого термоупругого мартенситного превращения зависят от концентрации Al [15].

При увеличении содержания алюминия более 10 мас. % удается практически полностью избежать образования α-фазы в сплавах при кристаллизации, о чем свидетельствуют рентгенографические и микроструктурные исследования (рис. 16, рис. 6). Так, методом РЭМ при разных увеличениях и в режиме ОРЭ наблюдалась γ₂-фаза с морфологией в виде "клевера", а также "редкие" пакеты мартенсита, образованного в процессе ТМП во время охлаждения при относительно низких температурах (рис. 6).

Для формирования в сплавах, легированных бором, более мелких зерен аустенита была также проведена высокотемпературная термомеханическая обработка, включающая горячую ковку и дополнительный нагрев под закалку из однофазной высокотемпературной β -области. Такая обработка сплавов с концентрацией Al 14 мас. % позволила, во-первых, сформировать в сплавах упорядоченное состояние $D0_3(\beta_1)$ со сверхструктурой с

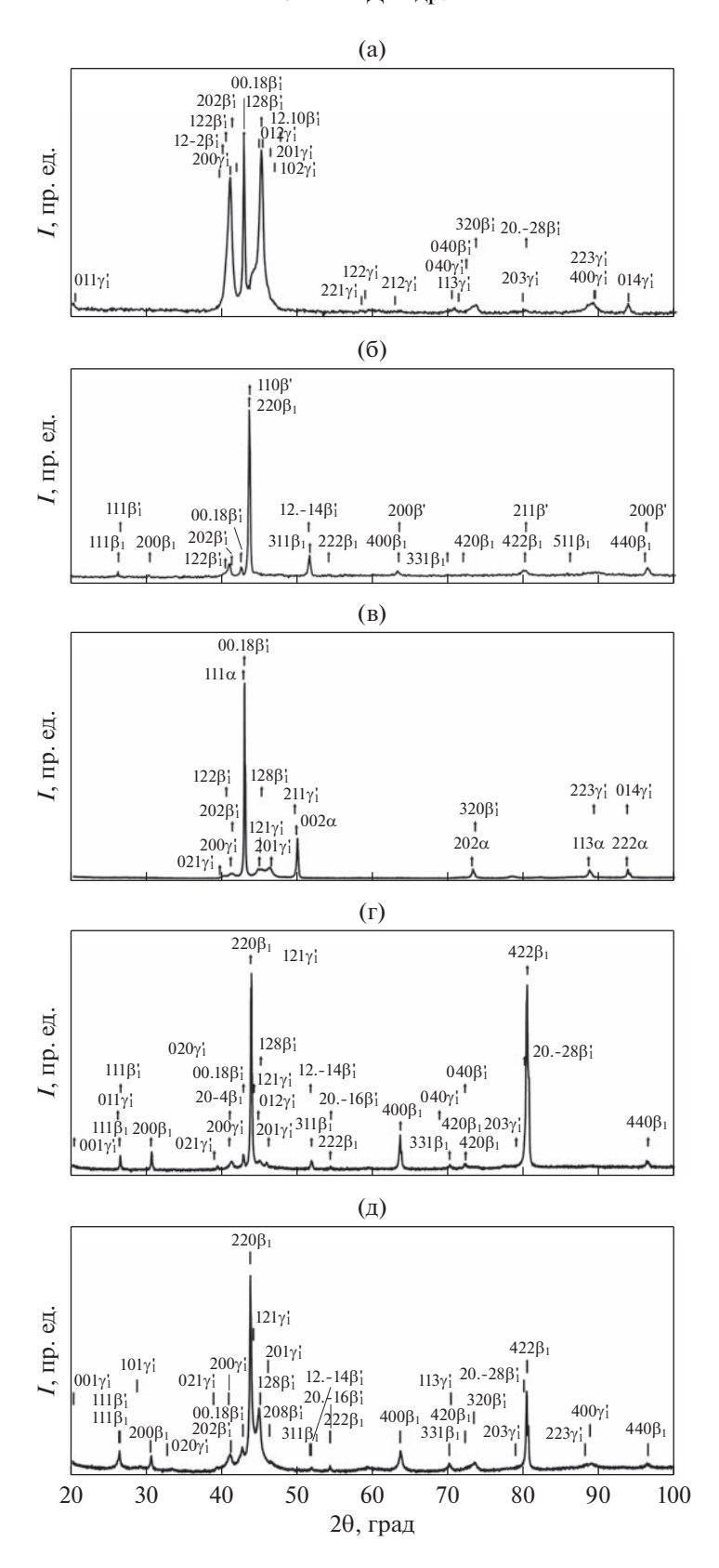


Рис. 1. Типичные рентгеновские дифрактограммы исследованных сплавов: Cu-14Al-3Ni после ковки и закалки от 1223 K (a); Cu-14Al-3Ni-0.05B в литом состоянии (б); Cu-10Al-4.5Ni-0.1B (в), Cu-14Al-3Ni-0.2B (г) и Cu-14Al-4Ni-0.3B (д) после ковки и закалки от 1223 K, 10 мин.

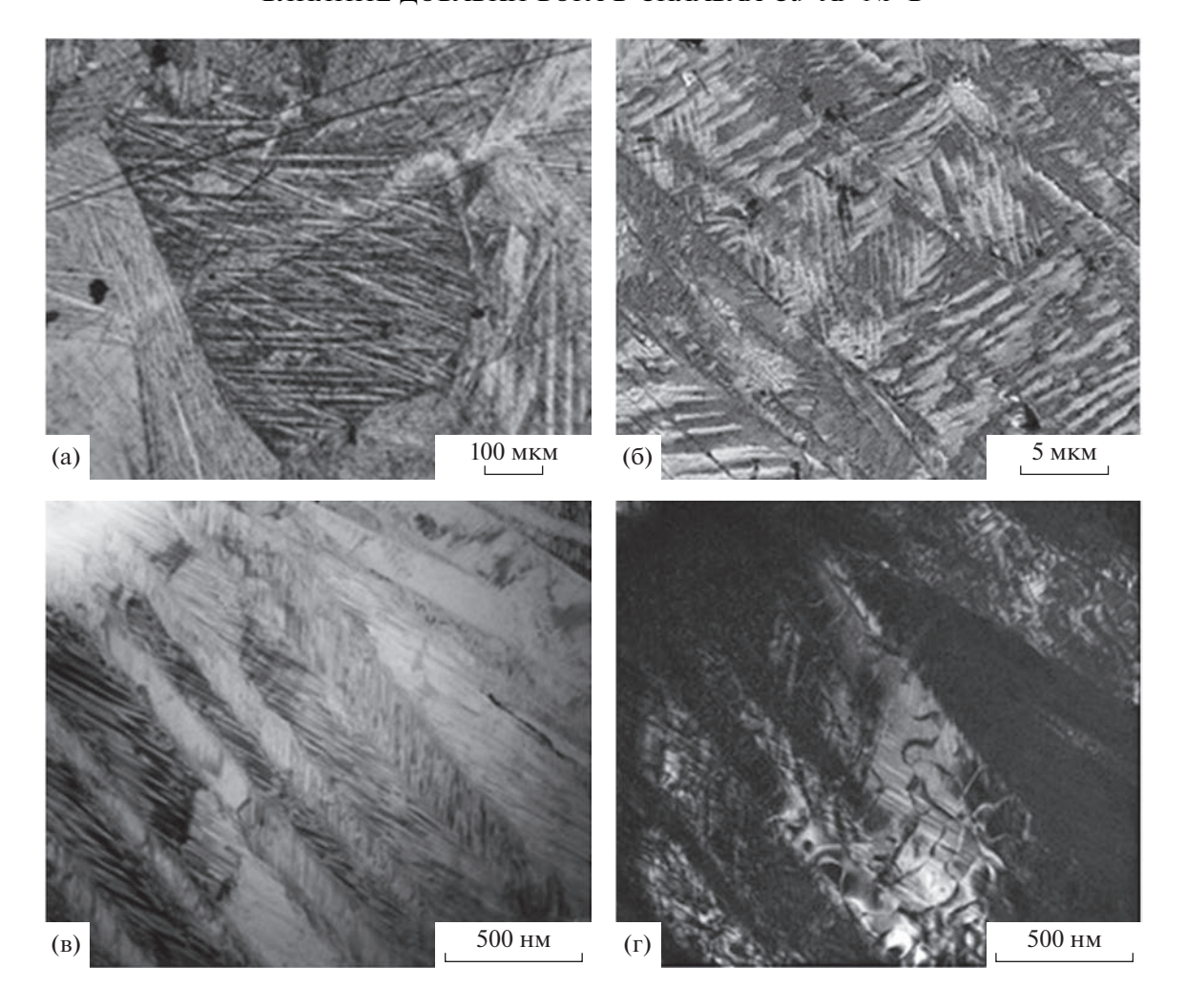


Рис. 2. ОМ- (а), РЭМ- (б) и ПЭМ- (в, Γ) изображения мартенситной микроструктуры сплава Cu-10Al-4.5Ni после горячей ковки и закалки от 1223 K.

удвоенным периодом элементарной ячейки (рис. 1г, 1д), которая при быстром охлаждении испытывает ТМП $\beta_1(D0_3) \rightarrow \beta_1' + \gamma_1'$, а, во-вторых, предотвратить эвтектоидный распад и устранить химическую неоднородность (см. рис. 1в—1д). Кроме того, наблюдались равноосные зерна размерами вплоть до 150 мкм, что почти в 10 разменьше, чем в кованых сплавах-прототипах без бора. Частицы бора, локализуясь на границах и в объеме зерен, сдерживали движение границ, оказывая "барьерный" эффект во время нагрева под закалку, не влияя на изменение фазового состава.

Микродобавка бора (0.02 мас. %) в сплавы системы Cu—Al—Ni также повлияла на уменьшение размеров зерен (рис. 7). После нагрева и закалки размеры зерен были в 2 раза мельче (400—500 мкм), чем в сплавах без бора (рис. 7а и 2а). На ПЭМизображениях тонкой структуры сплавов (рис. 8) наблюдались мартенситные фазы β'_1 и γ'_1 в основном однопакетной морфологии в пределах исход-

ных аустенитных зерен. Равномерно распределенные частицы бора прямоугольной формы и в виде кубоидов не оказывали "барьерного" эффекта при $TM\Pi$.

Механические свойства изученных сплавов приведены на рис. 9 и в табл. 1. Анализ получен-

Таблица 1. Механические свойства сплавов систем Cu–Al–Ni–(B) после ковки и закалки от 1223 K

Состав	σ _В , МПа	σ _{0.2} , МПа	δ, %	d, MKM
Cu-10Al-3Ni	520	200	5	
Cu-10Al-4.5Ni	400	230	4	900
Cu-10Al-4.5Ni-0.1B	630	220	9	100
Cu-10Al-4.5Ni-0.2B	820	200	6	150
Cu-14Al-3Ni	250	120	3	1000
Cu-14Al-3Ni-0.2B	640	270	6	150
Cu-14Al-4Ni-0.02B	490	100	5.5	500

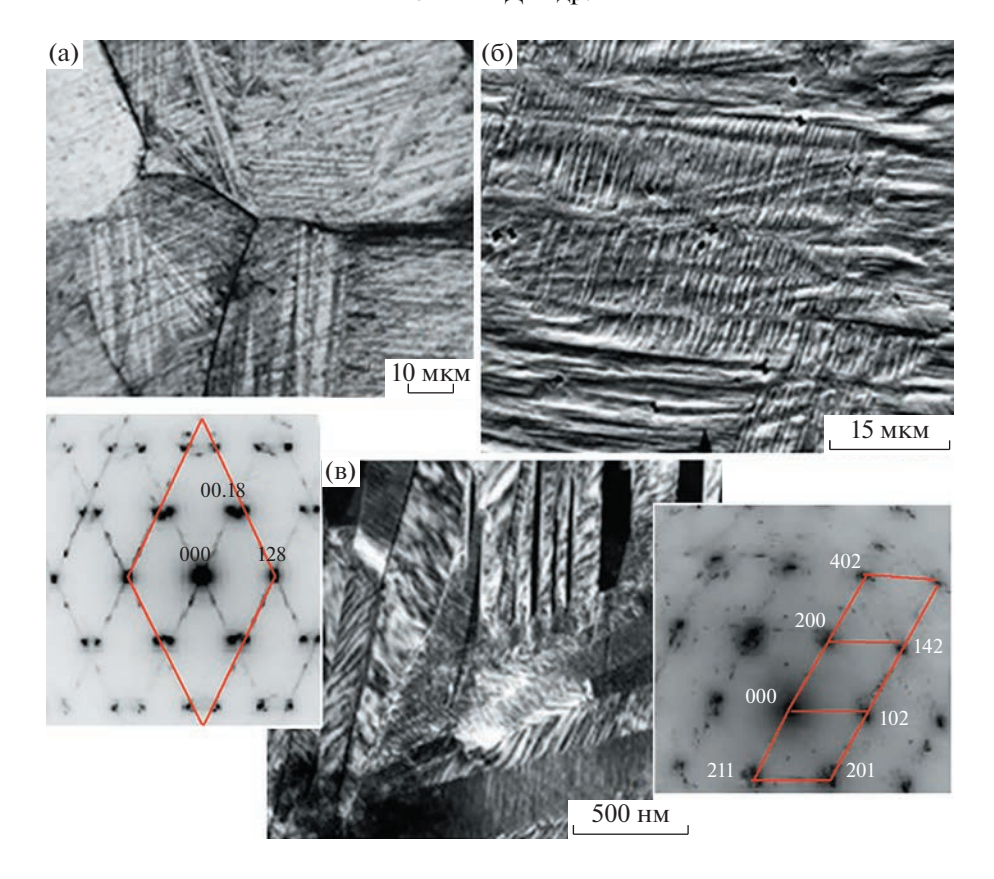


Рис. 3. ОМ- (а), РЭМ- (б) и ПЭМ- (в) изображения мартенситной микроструктуры сплава Cu-14Al-3Ni после ковки и закалки от 1223 К. Микроэлектронограммы на вставке соответствуют мартенситным фазам (слева – β_1' , справа – γ_1').

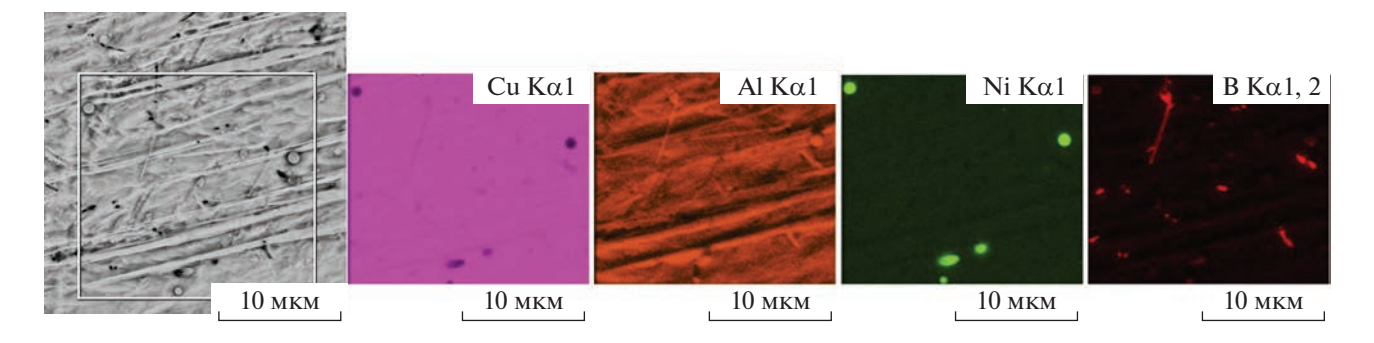


Рис. 4. РЭМ-изображение микроструктуры и картирование по химическим элементам в характеристическом излучении при энергодисперсионном микроанализе литого сплава Cu-10Al-3Ni-0.3B.

ных данных механических испытаний на одноосное растяжение показал, что уменьшение размеров зерен (d) сплавов в результате легирования бором и закалки приводит к возрастанию всех механических свойств ($\sigma_{\rm B}$, $\sigma_{0.2}$, δ), необходимых для реализации ЭПФ.

Фрактографический анализ сплавов Cu—Al—Ni с добавкой бора после испытаний на растяжение показал, что изломы имеют квазивязкий характер в отличие от сплавов без бора. На рис. 10а, 10б отчетливо видны участки как ручеистого и мелкоя-

мочного разрушения, так и гладкие зоны внутризеренного скола. Локализованные частицы бора в теле и по границам зерен, по-видимому, обеспечили повышенную деформируемость сплавов с появлением вязкого механизма разрушения. Для сплава с наименьшим содержанием бора (0.02 мас. %) было характерно хрупкое интеркристаллитное разрушение, которое происходило по границам зерен и пакетам мартенсита (рис. 10в). Такая концентрация бора, по-видимому, не обеспечила высокую пластичность при растяжении,

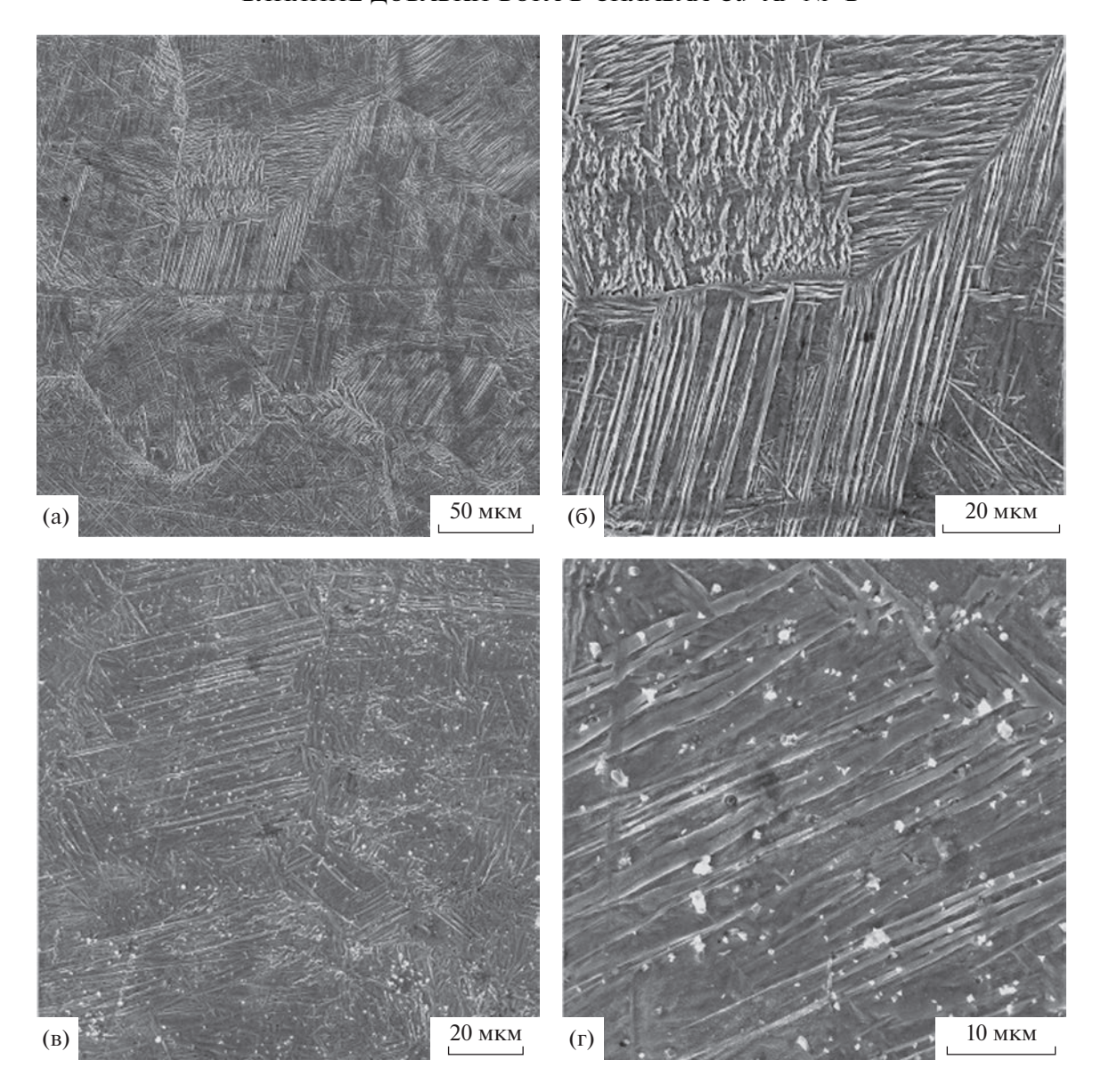


Рис. 5. РЭМ-изображения микроструктуры литых сплавов Cu-10Al-4.5Ni-0.1B (а, б) и Cu-10Al-3Ni-0.2B (в, г).

но, тем не менее, позволила достигнуть повышенных значений предела прочности $\sigma_{_B}$ и удлинения до разрушения δ .

выводы

1. Данные рентгеноструктурного и фазового анализов показали, что в результате ковки и последующей закалки из однофазной β -области в сплавах Cu–Al–Ni с повышенной концентрацией алюминия происходит упорядочение $A2(\beta) \rightarrow B2(\beta_2) \rightarrow D0_3(\beta_1)$ с формированием сверхструктуры более высокого порядка. Это, в свою очередь, обеспечивает прохождение ТМП с образованием мартенситных фаз 2H и 18R в сплавах.

- 2. По данным микроструктурных исследований было установлено, что в сплавах Cu–Al–Ni, легированных бором, частицы Al–B, Al–Ni–B, размеры которых не превышают 400 нм, равномерно распределены по объему сплавов. Установлена и частичная локализация частиц бора по границам зерен. При этом имеет место химическое расслоение B.
- 3. Установлено, что микролегирование бором в концентрациях (0.02 до 0.2 мас. %) обеспечивает измельчение зерен до 400 мкм в литых $\alpha + \beta$ и β сплавах Cu–Al–Ni–B, в то время как в литых сплавах без бора размеры зерен достигают 1.5 мм.
- 4. Сплавы, легированные бором, при механических испытаниях на одноосное растяжение так же продемонстрировали эффект упрочнения и

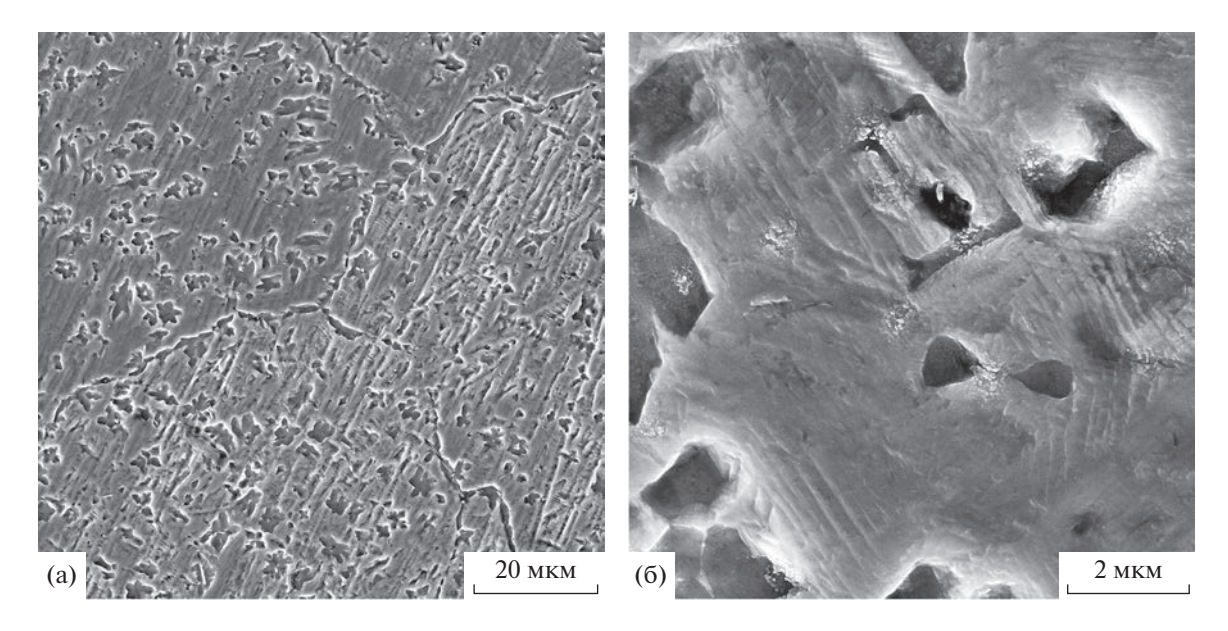


Рис. 6. РЭМ-изображения микроструктуры литого сплава Cu-14Al-3Ni-0.2B (a) в режиме обратнорассеянных электронов и литого сплава Cu-14Al-4Ni-0.02B (б) в режиме отраженных электронов.

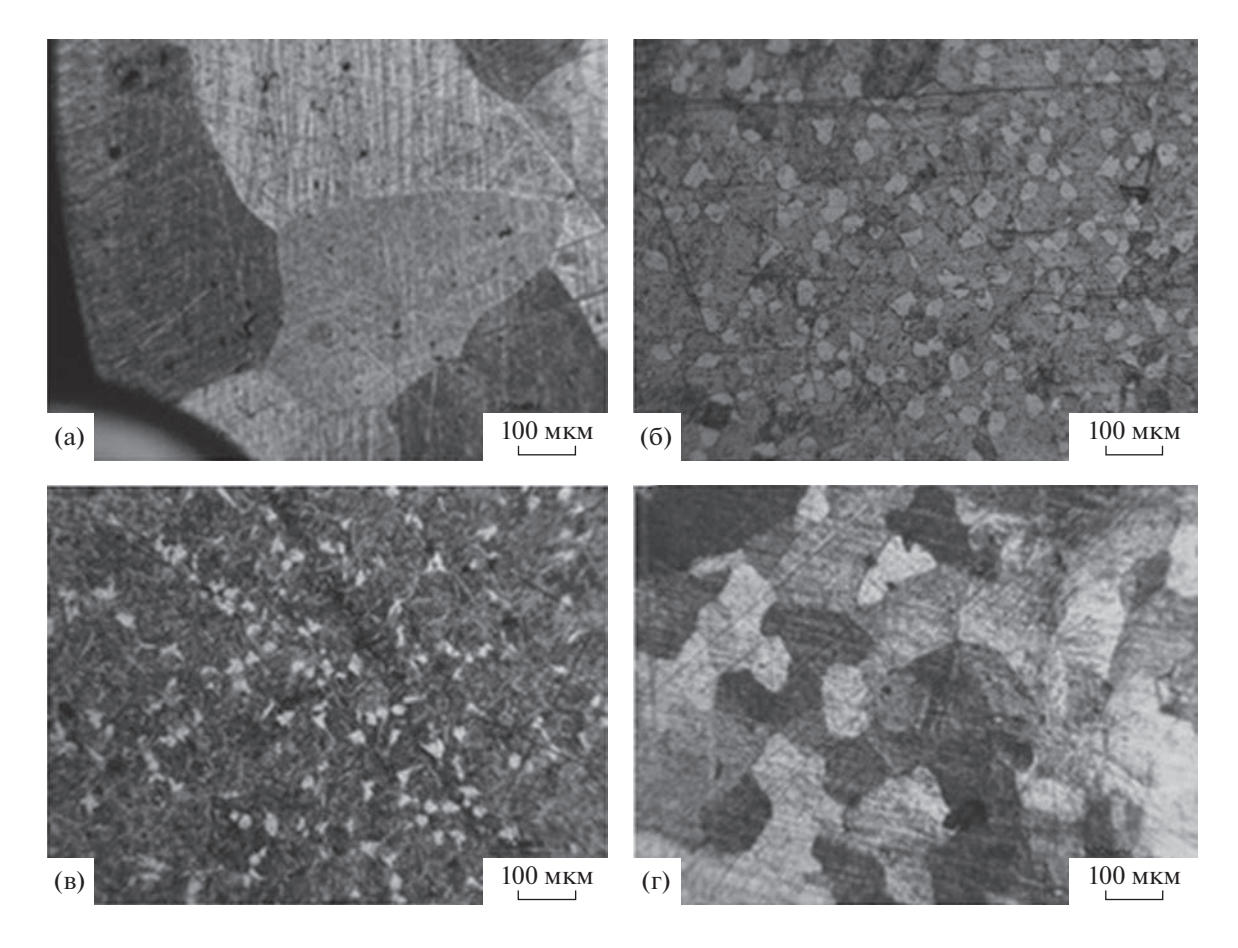


Рис. 7. ОМ-изображения мелкозернистой микроструктуры сплавов Cu-10Al-4.5Ni-0.02B (a), Cu-10Al-4.5Ni-0.1B (б), Cu-10Al-4Ni-0.2B (в), Cu-14Al-3Ni-0.2B (г) после ковки и закалки в воде от 1223 К.

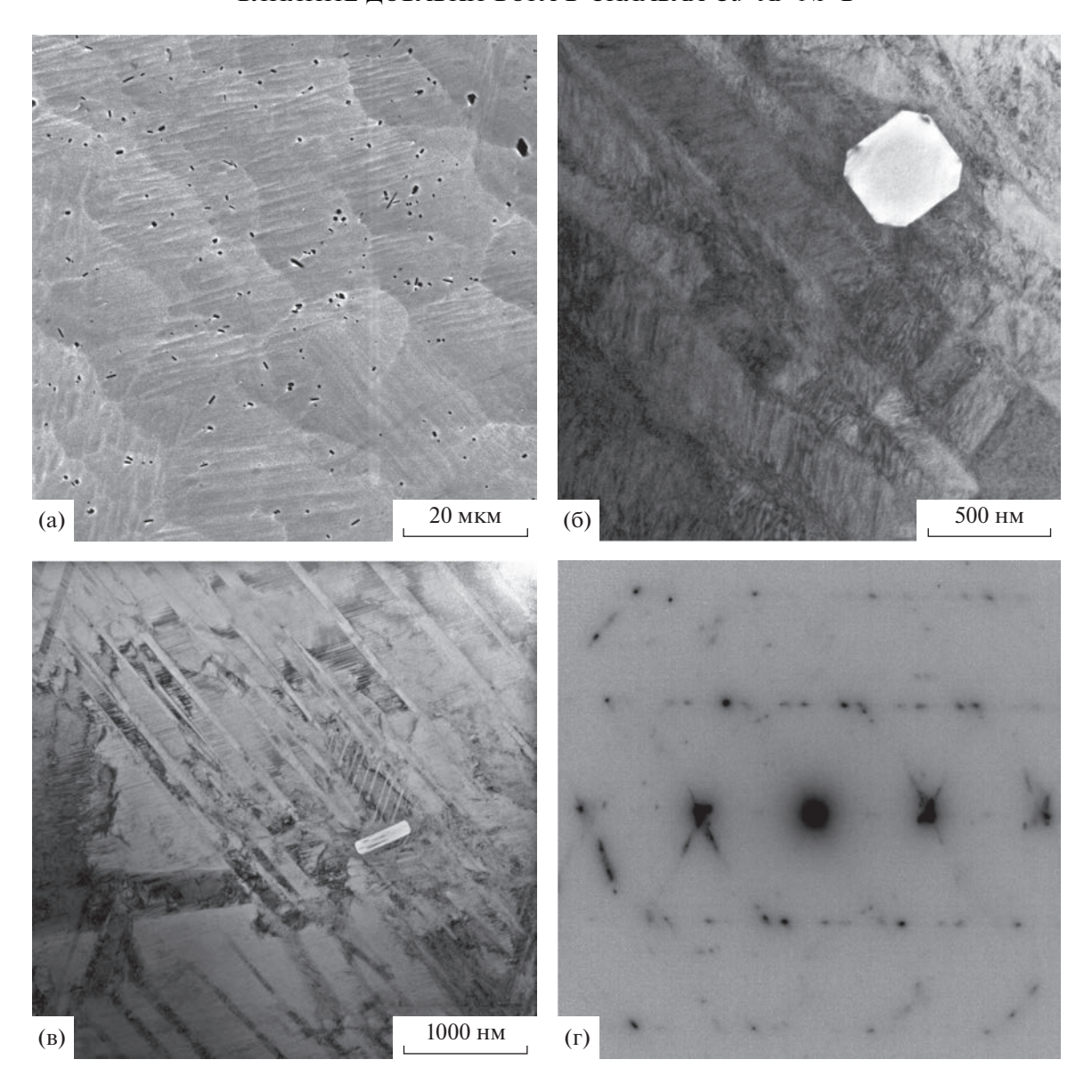


Рис. 8. РЭМ- (а) и ПЭМ- (б, в) изображения микроструктуры и соответствующая электронограмма (г) с мартенситной структурой сплава Cu-10Al-4Ni-0.2B после ковки и закалки в воде от 1223 К.

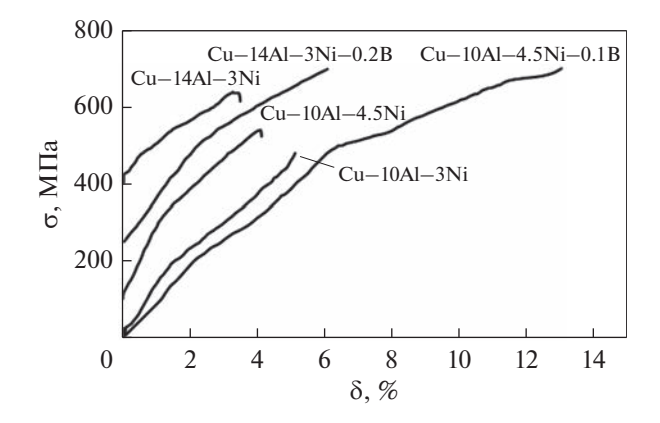


Рис. 9. Кривые растяжения σ – δ сплавов Cu–Al–Ni–(B) после ковки и закалки от 1223 К.

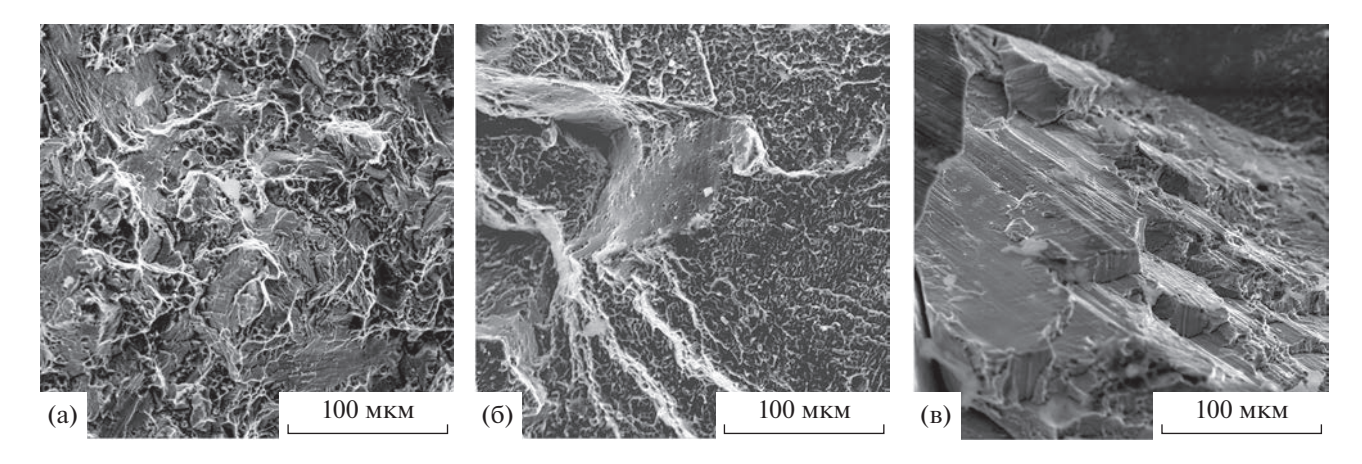


Рис. 10. РЭМ-изображения поверхности разрушения сплавов Cu-10Al-4Ni-0.1B (a), Cu-14Al-3Ni-0.2B (б) и Cu-14Al-4Ni-0.02B (в) после ковки и закалки в воде от 1223 К.

повышения пластичности. Так, например, исходно крупнозернистый сплав-прототип Cu-14Al-3Ni достигал предела прочности σ_B (250 МПа), предела упругости $\sigma_{0.2}$ (120 МПа) и удлинения до разрушения δ (3%), что почти в 2.5 раза меньше, чем характеристики сплава с добавкой 0.2% В.

5. В сплаве с наименьшей концентрацией бора 0.02%, несмотря на незначительное измельчение зерен, механически характеристики оказались выше, чем у сплавов без бора. Установлен и характер разрушения сплавов — от квазивязкого при концентрации бора 0.1—0.2 мас. % до интеркристаллитного, с концентрациями бора от 0 до 0.02%.

Синтез сплавов, легированных бором, и их аттестация в литом состоянии, а также после термической обработки выполнены за счет средств Российского научного фонда (проект № 22-72-00056). Результаты исследований кованных сплавов без бора получены в рамках государственного задания Минобрнауки России (тема "Структура", № АААА-А18-118020190116-6). Работа выполнена с использованием оборудования ЦКП "Испытательный центр нанотехнологий и перспективных материалов" ИФМ УрО РАН.

Авторы благодарны Д.И. Давыдову за изготовление сплавов.

СПИСОК ЛИТЕРАТУРЫ

- 1. Ооцука К., Симидзу К., Судзуки Ю., Сэкигути Ю., Тадаки Ц., Хомма Т., Миядзаки С. Сплавы с эффектом памяти формы. М.: Металлургия, 1990. 224 с.
- Курдюмов Г.В., Хандрос Л.Г. О термоупругом равновесии при мартенситных превращениях // ДАН СССР. 1949. Т. 66. № 2. С. 211—214.
- 3. *Варлимонт X.*, *Дилей Л*. Мартенситные превращения в сплавах на основе меди, серебра и золота. М.: Наука, 1980. 205 с.

- 4. *Лихачев В.А., Кузьмин С.Л., Каменцева З.П.* Эффект памяти формы. Ленинград: ЛГУ, 1987. 218 с.
- Sedlák P., Seiner H., Landa M., Novák V., Šittner P., Mañosa L. Elastic Constants of bcc Austenite and 2H Orthorhombic Martensite in CuAlNi Shape Memory Alloy // Acta Mater. 2005. V. 53. P. 3643–3661.
- Mañosa L., Jarque-Farnos S., Vives E., Planes A. Large temperature span and giant refrigerant capacity in elastocaloric Cu–Zn–Al shape memory alloys // Appl. Phys. Lett. 2013. V. 103. P. 211904.
- 7. *Dasgupta R*. A look into Cu-based shape memory alloys: Present Scenario and future prospects // J. Mater. Res. 2014. V. 29. № 16. P. 1681–1698.
- Хачин В.Н., Муслов С.А., Пушин В.Г., Чумляков Ю.И. Аномалии упругих свойств монокристаллов TiNi— TiFe // ДАН СССР. 1987. Т. 295, № 3. С. 606—609.
- 9. Pushin V., Kuranova N., Marchenkova E., Pushin A. Design and Development of Ti–Ni, Ni–Mn–Ga and Cu–Al–Ni-based Alloys with High and Low Temperature Shape Memory Effects // Materials. 2019. V. 12. P. 2616–2640.
- 10. Лукьянов А.В., Пушин В.Г., Куранова Н.Н., Свирид А.Э., Уксусников А.Н., Устюгов Ю.М., Гундеров Д.В. Влияние термомеханической обработки на структурно-фазовые превращения в сплаве Cu—14Al—3Ni с эффектом памяти формы, подвергнутом кручению под высоким давлением // ФММ. 2018. Т. 119. № 4. С. 393—401.
- 11. Свирид А.Э., Лукьянов А.В., Пушин В.Г., Белослудцева Е.С., Куранова Н.Н., Пушин А.В. Влияние температуры изотермической осадки на структуру и свойства сплава Си—14 мас. % Al—4 мас. % Ni с эффектом памяти формы // ФММ. 2019. Т. 120. С. 1257—1263.
- 12. Свирид А.Э., Пушин В.Г., Куранова Н.Н., Белослудцева Е.С., Пушин А.В., Лукьянов А.В. Эффект пластификации сплава Сu—14Al—4Ni с эффектом памяти формы при высокотемпературной изотермической осадки // Письма в ЖТФ. 2020. Т. 46. С. 19—22.
- 13. Свирид А.Э., Лукьянов А.В., Пушин В.Г., Куранова Н.Н., Макаров В.В., Пушин А.В., Уксусников А.Н. Применение изотермической осадки для мегапластиче-

- ской деформации beta-сплавов Cu—Al—Ni // ЖТФ. 2020. Т. 90. С. 1088—1094.
- 14. Свирид А.Э., Пушин В.Г., Куранова Н.Н., Макаров В.В., Уксусников А.Н. Влияние термообработки на структуру и механические свойства нанокристаллического сплава Cu−14Al−3Ni, полученного кручением под высоким давлением // ФММ. 2021. Т. 122. № 9. С. 948–956.
- Pushin V., Kuranova N., Svirid A., Uksusnikov A., Ustyugov Y. Design and Development of High-Strength and Ductile Ternaryand Multicomponent Eutectoid Cu-Based Shape Memory Alloys: Problems and Perspectives // Metals. 2022. V. 12. P. 1289–1321.
- 16. Saud S.N., Hamzah E., Abubakar T., Bakhsheshi-Rad H.R. Correlation of microstructural and corrosion characteristics of quaternary shape memory alloys Cu–Al–

- Ni–X (X = Mn or Ti) // Trans. Nonferrous Met. Soc. China. 2015. V. 25. P. 1158–1170.
- 17. Li Z., Pan Z.Y., Tang N., Jiang Y.B., Liu N., Fang M., Zheng F. Cu—Al—Ni—Mn shape memory alloy processed by mechanical alloying and powder metallurgy // Mater. Sci. Eng. A. 2006. V. 417. P. 225–229.
- Lojen G., Anzel I., Kneissi A., Križman A., Unterweger E., Kosec B., Bizjak M. Microstructure of rapidly solidified Cu–Al–Ni shape memory alloy ribbons // J. Mater. Process. Techn. 2005. V. 162–163. P. 220–229.
- 19. Lovey F.C., Condo A.M., Guimpel J., Yacaman M.J. Shape memory effect in thin films of a Cu–Al–Ni alloy // Mater. Sci. Eng. A. 2008. V. 481–482. P. 426–430.
- 20. Sun, Y.S. Lorimer G.W., Ridley N. Microstructure and its development in Cu–Al–Ni alloys // Met. Trans. A. 1990. V. 21A. P. 585–588.